

Einführung in die Computergrafik und Visualisierung

## **Kapitel 13b: Texturierung**

Prof. Dr. Matthias Hullin

Institut für Informatik II - Computergraphik  
Universität Bonn

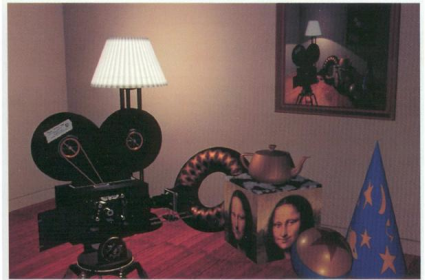
17. Juni 2019

Es gibt ein großes Spektrum geometrischer Formen und physikalischer Materialien, z.B.

- ▶ Maserungen und Muster (Holz, Marmorplatten und Tapeten)
- ▶ Wolken
- ▶ Strukturen unebener Oberflächen (Putzwände, Leder, Orangen und Baumstämme)
- ▶ Objekte im Hintergrund (Häuser, Maschinen, Pflanzen und Personen)

Solche Objekte durch Flächen nachzubilden ist in der Regel viel zu aufwendig.

**Lösung:** Mit Texturen kann man Objekte visuell komplexer gestalten. Man "klebt" über das Objekt eine Tapete bzw. ein Bild. Dies nennt man **Texturierung**.



Eine 2D-Textur ist eine Funktion von  $(u, v)$  auf die Menge der RGB-Farben.

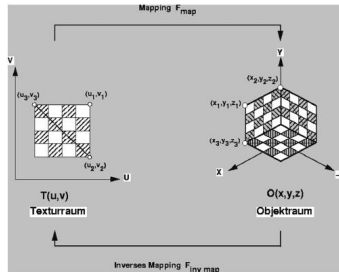
Anschaulich:

$$(r, g, b) = C_{tex}(u, v)$$

Eine Abbildung (engl. Mapping) beschreibt, wie die Textur auf die Fläche aufgebracht wird.

Beim Rendering muss das inverse Mapping-Problem gelöst werden:

$$(u, v) = F_{inv\ map}(x, y, z)$$



Eine 2D-Textur ist eine Funktion von  $(u, v)$  auf die Menge der RGB-Farben.

Anschaulich:

► **Textur** :

$$(r, g, b) = C_{tex}(u, v)$$

► Inverses Mapping:

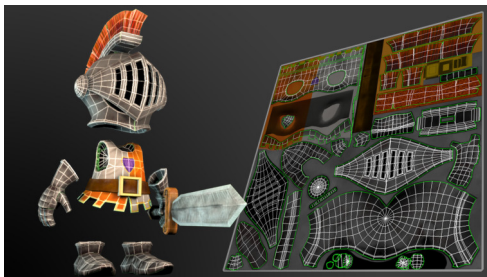
$$(u, v) = F_{inv\ map}(x, y, z)$$

Die **Texturierung** mit einer 2D-Textur ist die Hintereinanderausführung der Abbildungen:

$$(r, g, b) = C_{tex}(F_{inv\ map}(x, y, z))$$

## uv-Mapping:

- ▶ Auch heterogene Texturen auf komplexen Objekten können so verwaltet werden
- ▶ Texturdaten leben in einer großen 2D-Karte ("Texturatlas")
- ▶ Jeder Punkt auf der Objektoberfläche verweist auf eine *uv*-Koordinate im Texturraum

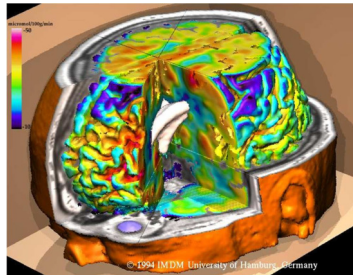


Quelle: <https://pluralsight.imgix.net/course-images/3ds-max-uv-mapping-fundamentals-v1.jpg>

Eine 3D-Textur ist eine Funktion von  $(u, v, w)$  auf die Menge der RGB-Farben.  
Anschaulich:

$$(r, g, b) = C_{tex}(u, v, w)$$

- ▶ 3D-Texturen nennt man auch Festkörpertexturen (z.B. Holz und Marmor)
- ▶ Bei inversem Mapping werden  $(x, y, z)$  auf  $(u, v, w)$  abgebildet. Das Objekt wird quasi aus dem Texturkörper herausgeschnitzt



**Diskrete Texturen:** Eine diskrete  $N$ -dimensionale Textur wird als  $(N + 1)$ -dimensionales Zahlenfeld gespeichert.

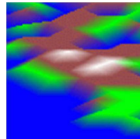
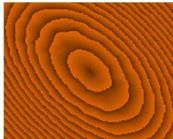
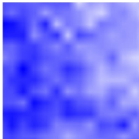
Eine diskrete 2D-Textur ist somit als 2-dimensionales Array gegeben durch:

$$C[i, j] \quad , \quad 0 \leq i < m, 0 \leq j < n$$

Dabei ist  $C[i, j]$  ein RGB-Vektor, auch **Texel (Textur Element)** genannt.

**Prozedurale Texturen:** Eine prozedurale Textur ist eine mathematische Funktion und wird beim Lesen erst berechnet:

$$C_{tex}(u, v) := f(u, v) \quad \text{bzw.} \quad C_{tex}(u, v, w) := f(u, v, w)$$



## Diskrete Texturen:

### Vorteile:

- ▶ Vorrat an Bildern nahezu unerschöpflich
- ▶ Erzeugung einfach (z.B. digitale Photographie)

### Nachteile:

- ▶ Kontext (Sonnenstand, Schattenwurf, etc.) stimmt meist nicht
- ▶ Bilder hoher Auflösung haben großen Speicherbedarf
- ▶ Fortsetzung meist sehr kompliziert
- ▶ Beim Vergrößern treten Artefakte auf
- ▶ Verzerrung beim Mapping auf beliebige Fläche
- ▶ Texturwerte an  $(u, v)$  müssen aus Texelwerten rekonstruiert werden



## Prozedurale Texturen:

### Vorteile:

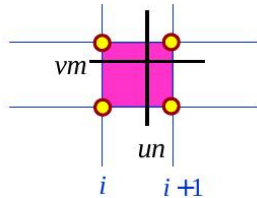
- ▶ Speicheraufwand ist minimal (nur Funktion speichern)
- ▶ Texturwerte können an jeder Stelle  $(u, v)$ , bzw.  $(u, v, w)$  berechnet werden
- ▶ Optimale Genauigkeit (keine Interpolation)
- ▶ Texturen sind im gesamten Raum definiert

### Nachteile:

- ▶ Schwer zu erzeugen (selbst für Experten)
- ▶ Mindestens Grundkenntnisse der Fouriersynthese, bzw. fraktaler Geometrie erforderlich
- ▶ Komplexere Texturen nahezu unmöglich

## 1. Nächster Nachbar (nearest neighbour)

$$C_{tex}(u, v) = C \left[ \left\lfloor un + \frac{1}{2} \right\rfloor \bmod n, \left\lfloor vm + \frac{1}{2} \right\rfloor \bmod m \right]$$



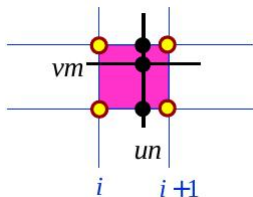
$n$  und  $m$  beschreiben hierbei die Anzahl der Farbsegmente, zwischen denen interpoliert wird.

## 2. Bilineare Interpolation

$$\hat{u} = un - \lfloor un \rfloor \quad \hat{v} = vm - \lfloor vm \rfloor$$

$$C_j(u, v) = \hat{u} \cdot C[\lfloor un \rfloor + 1, \lfloor vm \rfloor + j] + (1 - \hat{u}) \cdot C[\lfloor un \rfloor, \lfloor vm \rfloor + j]$$

$$C_{tex}(u, v) = \hat{v} \cdot C_1(u, v) + (1 - \hat{v}) \cdot C_0(u, v)$$



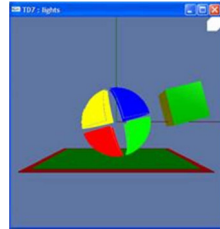
$n$  und  $m$  beschreiben hierbei die Indices der Farbsegmente, zwischen denen interpoliert wird.

Wie kann ein Texturwert die Beleuchtungsrechnung beeinflussen?

1. Ersetzen der Objektfarbe (replace)

$$L_{out} = C_{tex}(u, v)$$

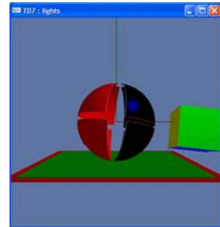
- ▶ Einfachste Art der Texturierung
- ▶ Jegliche Beleuchtung wird entfernt



2. A posteriori Skalierung der Farbe (modulate)

$$L_{out} = L_{Phong} \cdot C_{tex}(u, v)$$

- ▶ Komponentenweise Skalierung des Farbwertes



## 3. A priori Skalierung der Materialfarbe

$$r_a = k_a \cdot C_{tex}(u, v) \quad r_d = k_d \cdot C_{tex}(u, v)$$

- ▶ Farbe im wesentlichen durch ambiente ( $r_a$ ) und diffuse ( $r_d$ ) Komponenten bestimmt
- ▶ Im Unterschied zu 2. bleibt der spekulare Anteil von der Textur unbeeinflusst

## 4. Modulation der spekularen Reflektion

$$r_s = k_s \cdot C_{tex}(u, v)$$

- ▶ Analog zu 3. Modulation von  $r_s$
- ▶ Erlaubt Gestaltung unregelmäßiger Highlight (z.B. Verschmutzte Flächen)

## 5. Modulation der Transparenz

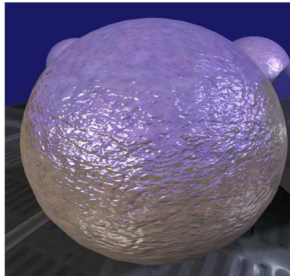
$$\alpha = \alpha_{obj} \cdot \alpha_{tex}(u, v)$$

- ▶ Speichern der Durchsichtigkeit in einer Textur
- ▶ Pixel mit  $\alpha = 0$  sind durchsichtig und Pixel mit  $\alpha = 1$  sind undurchsichtig
- ▶ Ermöglicht komplexe Formen mit einfacher Geometrie (Billboards)

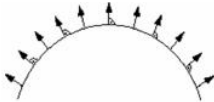


## 6. Perturbation der Normale (Bump-Mapping)

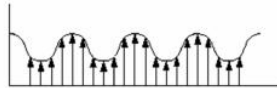
- ▶ Speichern von Höhenwerten einer Offsetfläche in einer skalaren Textur
- ▶ Erste Ableitungen in  $u$ - und  $v$ -Richtung perturbieren die Flächennormale



Oberflächennormale wird perturbiert, wie wenn der Punkt versetzt worden wäre:



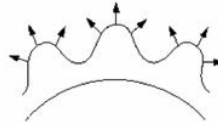
Original-Oberfläche  $P(u,v)$   
mit Normalen  $N(u,v)$



Bump Map  $F(u,v)$



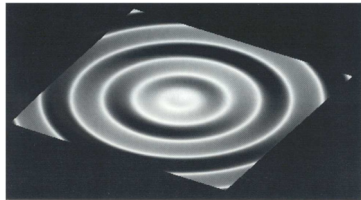
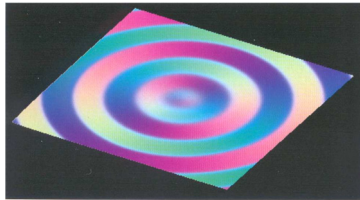
Offset-Oberfläche



Perturbierte Normalen

$$P'(u,v) = P(u,v) + F(u,v) \cdot \frac{N(u,v)}{\|N(u,v)\|_2}$$

## Beispiel:



In die Beleuchtungsrechnung geht nicht direkt  $P(u, v)$  ein, sondern nur  $N(u, v)$ .

**Idee:** Für kleine Unebenheiten reicht die Visualisierung von  $P(u, v)$  mit veränderten Normalen  $N'(u, v)$ . Der Offset der Oberfläche wird also vernachlässigt.

Diese Normalen lassen sich folgendermaßen berechnen:

$$N'(u, v) = \frac{\partial}{\partial u} P'(u, v) \times \frac{\partial}{\partial v} P'(u, v)$$



$$P'(u, v) = P(u, v) + F(u, v) \cdot \frac{N(u, v)}{\|N(u, v)\|_2}$$

Die Richtungsableitungen lassen sich mithilfe von Summen- und Kettenregel berechnen:

$$\frac{\partial}{\partial u} P'(u, v) = \frac{\partial}{\partial u} P(u, v) + \frac{\partial}{\partial u} F(u, v) \cdot \frac{N(u, v)}{\|N(u, v)\|_2} + F(u, v) \cdot \frac{\partial}{\partial u} \frac{N(u, v)}{\|N(u, v)\|_2}$$

$$\frac{\partial}{\partial v} P'(u, v) = \frac{\partial}{\partial v} P(u, v) + \frac{\partial}{\partial v} F(u, v) \cdot \frac{N(u, v)}{\|N(u, v)\|_2} + F(u, v) \cdot \frac{\partial}{\partial v} \frac{N(u, v)}{\|N(u, v)\|_2}$$

Da wir annehmen, dass  $F(u, v)$  sehr klein ist (kleine Unebenheiten), kann dieser Term vernachlässigt werden:

$$\frac{\partial}{\partial u} P'(u, v) \approx \frac{\partial}{\partial u} P(u, v) + \frac{\partial}{\partial u} F(u, v) \cdot \frac{N(u, v)}{\|N(u, v)\|_2}$$

$$\frac{\partial}{\partial v} P'(u, v) \approx \frac{\partial}{\partial v} P(u, v) + \frac{\partial}{\partial v} F(u, v) \cdot \frac{N(u, v)}{\|N(u, v)\|_2}$$

Für  $N'(u, v)$  folgt dann:

$$\begin{aligned}
 N' &= \frac{\partial P'}{\partial u} \times \frac{\partial P'}{\partial v} \\
 &\approx \frac{\partial P}{\partial u} \times \frac{\partial P}{\partial v} + \frac{\partial F}{\partial u} \left( \frac{N}{\|N\|_2} \times \frac{\partial P}{\partial v} \right) \\
 &\quad + \frac{\partial F}{\partial v} \left( \frac{\partial P}{\partial u} \times \frac{N}{\|N\|_2} \right) + \frac{\partial F}{\partial u} \cdot \frac{\partial F}{\partial v} \left( \frac{N}{\|N\|_2} \times \frac{N}{\|N\|_2} \right) \\
 &= \frac{\partial P}{\partial u} \times \frac{\partial P}{\partial v} + \frac{\partial F}{\partial u} \left( \frac{N}{\|N\|_2} \times \frac{\partial P}{\partial v} \right) + \frac{\partial F}{\partial v} \left( \frac{\partial P}{\partial u} \times \frac{N}{\|N\|_2} \right) \\
 &= N + \frac{1}{\|N\|_2} \left( \frac{\partial F}{\partial u} \left( N \times \frac{\partial P}{\partial v} \right) - \frac{\partial F}{\partial v} \left( N \times \frac{\partial P}{\partial u} \right) \right)
 \end{aligned}$$

$$N' = N + \frac{1}{\|N\|_2} \left( \frac{\partial F}{\partial u} \left( N \times \frac{\partial P}{\partial v} \right) - \frac{\partial F}{\partial v} \left( N \times \frac{\partial P}{\partial u} \right) \right)$$

Die Ableitungen  $\frac{\partial F}{\partial u}$  und  $\frac{\partial F}{\partial v}$  können mit finiten Differenzen approximiert werden:

► Vorwärtsdifferenz :

$$f'(x_i) \approx \frac{f(x_{i+1}) - f(x_i)}{h}$$

► Rückwärtsdifferenz :

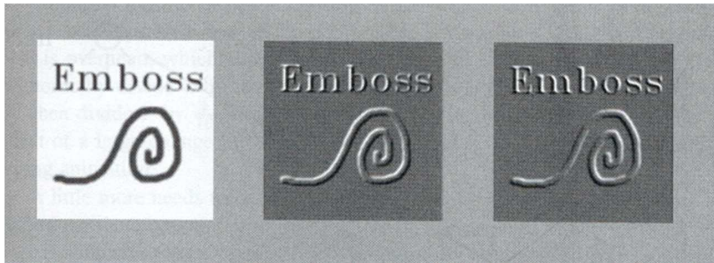
$$f'(x_i) \approx \frac{f(x_i) - f(x_{i-1})}{h}$$

► Zentrale Differenz :

$$f'(x_i) \approx \frac{f(x_{i+1}) - f(x_{i-1}))}{2h}$$

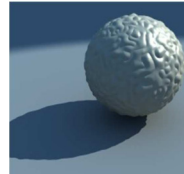
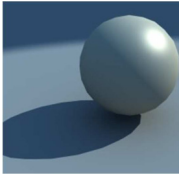
Speichern der Bump-Maps als Höhenfeld:

- ▶ Textur als Grauwertbild (mit Malprogramm erstellt)
- ▶ Richtungsableitungen (mit finiten Differenzen berechnet) in R/G gespeichert



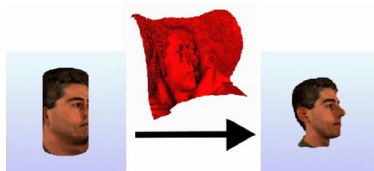
Links: Originalhöhenfeld , Mitte:  $u$ -Richtungsableitung , Rechts:  $v$ -Richtungsableitung

Beim Displacement Mapping wird die im Bump Mapping vernachlässigte Anpassung der Oberfläche (Offset Oberfläche) mitberücksichtigt:



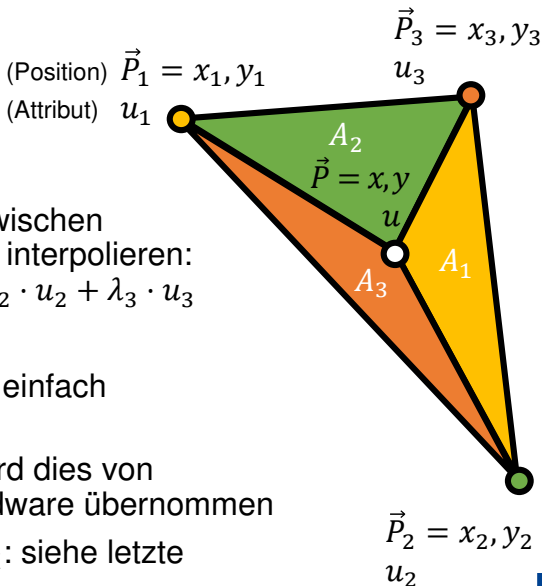
Links: Geometrie , Mitte: Bump Mapping , Rechts: Displacement Mapping

Im Gegensatz zu Bump Mapping sind auch größere Offsets möglich:



# Baryzentrische Koordinaten zur Interpolation

- Verwende  $\lambda_i$  um zwischen Vertexattributen zu interpolieren:  
$$u = \lambda_1 \cdot u_1 + \lambda_2 \cdot u_2 + \lambda_3 \cdot u_3$$
- Im Raytracer: sehr einfach umzusetzen
- Im Rasterisierer wird dies von spezialisierter Hardware übernommen
- Interpolation von  $\lambda_i$ : siehe letzte Vorlesung



# Perspektivisch korrekte Interpolation

- Was wir gerne hätten:

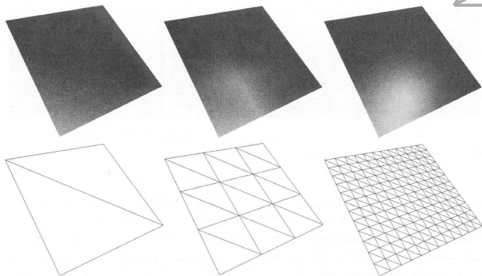


- Was wir durch Interpolation mit 2D-screen-space-Koordinaten bekommen:



# Perspektivische Interpolation

- Die perspektivische Projektion erhält Verhältnisse von Längen und Flächen nicht.
- Der Mittelpunkt einer Fläche liegt nach Projektion nicht mehr in der Mitte
- Einfachste Lösung:  
Unterteilen





# Perspektivisch korrekte Interpolation von Attributen

Gegeben:

- Baryzentrische Koordinaten  $\lambda_{1,2,3}$  von Punkt  $\vec{P}^s$  (in 2D)
- Vertices in "clip-space" Koordinaten,  $\vec{P}_{1,2,3}^v = (x, y, z, w)_{1,2,3}^v$   
[der Einfachheit halber nehmen wir an  $w = z$ ]

Perspektivisch korrekte Tiefeninterpolation durch  
Interpolation von  $\frac{1}{w}$ :

$$1/w = \lambda_1 \cdot 1/w_1 + \lambda_2 \cdot 1/w_2 + \lambda_3 \cdot 1/w_3$$

Verwende interpoliertes  $w$ , um Attribut  $u$  zu interpolieren:

$$u = w \cdot (\lambda_1 \cdot u_1/w_1 + \lambda_2 \cdot u_2/w_2 + \lambda_3 \cdot u_3/w_3)$$

(vgl. [Lindholm et al. 2008])

## **Bewertung:**

- ▶ Setzt voraus, dass für jeden Eckpunkt Texturkoordinaten spezifiziert werden
- ▶ Für ein Objekt aus wenigen Dreiecken kann man diese noch von Hand zuweisen
- ▶ Ist jedoch zu aufwendig für komplexe Objekte

## **Zweischrittverfahren (Bier & Sloan 1986):**

### Grundidee:

1. Umhülle Objekt mit einfacher virtueller Fläche mit kanonischen Texturkoordinaten
2. Übertrage diese Texturkoordinaten auf das umhüllte Objekt

### Geeignete umhüllende Flächen sind:

- ▶ Zylinder
- ▶ Kugel
- ▶ Quader

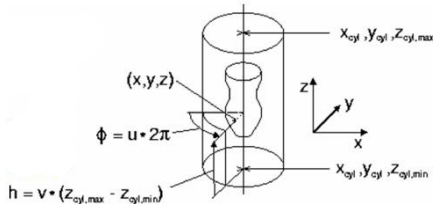
## Zylinder:

Ein Zylinder entlang der  $z$ -Achse (andere Ausrichtungen durch Rotation) ist gegeben durch:

$$(x_{cyl}, y_{cyl}, z_{cyl \ min}), (x_{cyl}, y_{cyl}, z_{cyl \ max})$$

Die Oberfläche ist parametrisierbar durch den Winkel  $\phi$  und die Höhe  $h$ .

Die Projektion eines Punktes  $(x, y, z)$  auf den Zylinder ist dann:



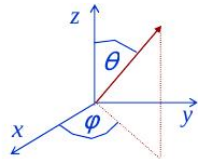
$(u, v)$  erhält man dann durch Normalisierung von  $(\phi, h)$ .

## Kugel:

Die Oberfläche einer Kugel ist parametrisierbar durch die Winkel  $\theta$  und  $\phi$ .

Die Projektion eines Punktes  $(x, y, z)$  auf die Kugel ist dann:

$$u = \frac{\pi + \arctan(y - y_s, x - x_s)}{2\pi}$$
$$v = \frac{\arctan(\sqrt{(x - x_s)^2 + (y - y_s)^2}, z - z_s)}{\pi}$$



## Quader:

Meist wird eine achsenparallele Bounding Box (Quader) des Objektes verwendet. Gilt dann z.B.  $(x_{max} - x_{min}) \geq (y_{max} - y_{min}) \geq (z_{max} - z_{min})$ , dann ist die Projektion eines Punkt  $(x, y, z)$  :

$$u = \frac{x - x_{min}}{x_{max} - x_{min}}$$

$$v = \frac{y - y_{min}}{y_{max} - y_{min}}$$

